

Πρακτικά	3ου Συνέδριου	Μάϊος 1986
Δελτ. Ελλ. Γεωλ. Εταιρ.	Τομ.	σελ.
Bull. Geol. Soc. Greece	XX	369-381
Vol.	pag.	Athens

ΤΟ ΗΠΕΙΡΩΤΙΚΟ ΠΕΡΙΘΩΡΙΟ ΤΩΝ ΣΤΕΝΩΝ ΚΥΘΗΡΩΝ ΑΝΤΙΚΥΘΗΡΩΝ - ΒΔ ΚΡΗΤΗΣ: ΑΒΑΘΗΣ ΔΟΜΗ ΚΑΙ ΕΞΕΛΙΞΗ ΚΑΤΑ ΤΟ ΑΝΩ ΚΑΙΝΟΖΩΙΚΟ

Γ. Κ. ΑΝΑΣΤΑΣΑΚΗΣ*

ΣΥΝΟΨΗ

Το πηειρωτικό περιθώριο των Κυθήρων - Αντικυθήρων κατέχει εξέχουσα γεωδυναμική θέση στη θεώριση της δομικής σύνδεσης Πελοποννήσου - Κρήτης αφ' ενός και του ΔΝΔ Αιγαίου με το ΒΑ τοίχο του δυτικού τμήματος της Ελληνικής Τάφρου αφ' ετέρου.

Η μελέτη τομών σεισμικής ανάκλασης (λιθοσεισμικών) στο δυτικό πηειρωτικό περιθώριο των Κυθήρων - Αντικυθήρων έδειξε την ύπαρξη μιας κύριας κατεύθυνσης ρηγμάτων Β-Ν (ΒΒΔ-ΝΝΔ και ΒΒΑ-ΝΝΔ) και μιάς δευτερεύουσας με γενική κατεύθυνση ση Α-Δ. Μεταξύ Αντικυθήρων και Δ. Κρήτης η κατεύθυνση των ρηγμάτων προσανατολίζεται κύρια ΒΔ-ΝΑ. Το πηειρωτικό περιθώριο των Κυθήρων - Αντικυθήρων προς τη μεριά του Αιγαίου είναι λιγότερο μελετημένο από έλειψη πυκνού δύκτου λιθοσεισμικών τομών. Στα ανατολικό υψηλόριζο των Κυθήρων - Αντικυθήρων η κύρια κατεύθυνση των ρηγμάτων είναι ΒΒΔ-ΝΝΑ ενώ προς το μέρος της Κρητικής λεκάνης παρατηρείται μία βαθμιαία μεταβολή σε ΔΒΔ-ΑΝΑ και ανατολικώτερα μεταπίπουν σε Α-Δ διευθύνσεις.

Η μελέτη της σεισμικής στρωματογραφίας της περιοχής δείχνει ότι περιορισμένης έκτασης καταβύθιση άρχισε κατά το ανώτερο Μείσικανο, κύρια δυτικά-νοτιοδυτικά των Αντικυθήρων και ανατολικά των στενών μεταξύ Αντικυθήρων και δυτικής Κρήτης. Την ίδια περίοδο στο ανατολικό περιθώριο (ΝΑ Αιγαίο) επικρατούσε ήδη θαλάσσια ζημιατογένεση. Κατά το κατώτερο-Μέσο Πλεισκανο άρχισε η καταβύθιση μεγάλων τμημάτων του δυτικού περιθώριου καθώς και του περιθώριου γύρω από το στενό Αντικυθήρων - Δ. Κρήτης. Κατά το μέσο-Άνω Τεταρτογενές επήλθε η ολική καταβύθιση του μεγαλύτερου τμήματος του δυτικού περιθώριου των Κυθήρων - Αντικυθήρων καθώς και μεταξύ Αντικυθήρων και Κρήτης και διαμόρφωση συνθηκών παρόμοιες με τις σημερινές.

ABSTRACT

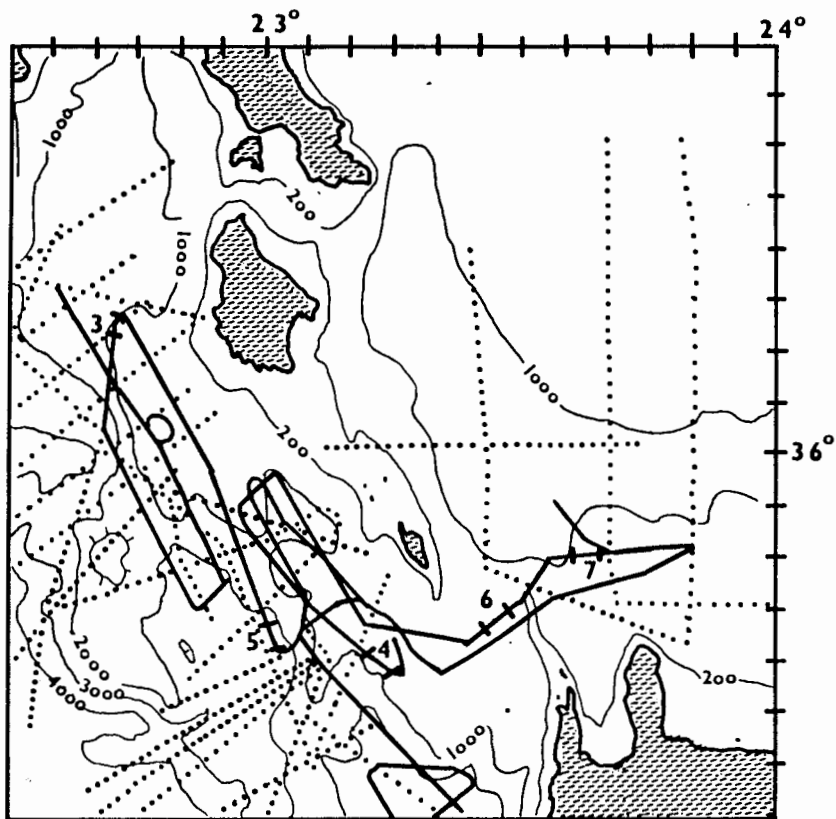
THE CONTINENTAL MARGIN OF THE KITHIRA - ANDIKITHIRA - NW CRETAN STRAITS :
SHALLOW STRUCTURE AND EVOLUTION DURING THE UPPER CENOZOIC

George C. Anastasakis

The continental margin of the Kithira - Andikithira - NW Cretan straits holds a critical position for the consideration of the continuation of the Alpine units from SW Peloponnisos to Crete as well as the Upper Cenozoic development of the region in relation to the evolution of the West Hellenic Trench and the SW Aegean Sea.

The fault pattern, in the west Kithiran - Antikithiran margin, is clearly dominated by the main N-S direction (NNW-SSE and NNE-SSW), while a secondary E-W direction is also present. Between Andikithira and W. Crete the fault patterns with a NW-SE directions are prevailing. The east Kithiran - Andikithiran continental margin is less well studied because of lack of a dense seismic reflection coverage. Around the east Kithiran - Andikithiran shelf break the main fault pattern is NNW-SSE, while towards the SE Cretan basin a progressive orientation towards NW-ESE and further eastwards towards E-W directions

* (Εθνικό Κέντρο Θαλασσινών Έρευνων, 166 04 ΕΛΛΗΝΙΚΟ)



Σχ. 1. Γενική βαθυμετρία των στενών ΝΑ Πελοποννήσου - Δ. Κρήτης, και διαδρομές των μελετηθέντων λιβαδεισμικών τομέων. Οι συνεχείς γραμμές είναι του DISCOVERY 1983. Οι θέσεις των σεισμικών προφίλ που δείχνονται στα Σχ. 3-7 σημειώνονται με τους αντίστοιχους αριθμούς.

Fig. 1. General bathymetry of the SE Peloponnesos - W. Cretan straits with the studied seismic reflection tracks. Seismic reflection profiles collected during the Discovery 1983 mission are indicated with continuous lines. The locations of the seismic reflection profiles which are shown in Figs. 3-7 are indicated with their figure numbers.

is taking place.

The seismic stratigraphy of the region suggests that the submergence, of the region W-SW of Andikithira and east of the Andikithiran - W. Cretan straits, was initiated during the Upper Miocene. During the same time span, further east in the SW Cretan basin, marine conditions were already prevailing. In the Lower-Middle Pliocene the submergence of portions of the West Kithiran-Andikithiran margin, as well as the margin around the Andikithira - W. Cretan strait, took place. During the Middle-Upper Quaternary started the submergence of the greatest portion of the west Kithiran-Andikithiran margin as well as the Andikithiran - W. Cretan strait and the establishment of conditions similar to the present.

1. ΓΕΩΛΟΓΙΑ ΤΗΣ ΠΕΡΙΟΧΗΣ - ΕΙΣΑΓΩΓΗ

Η συνέχεια του Αλπικού υποβάθρου μεταξύ της Πελοποννήσου και Κρήτης (Bonneau, 1976) έχει γίνει γενικά αποδεκτή και συγκρίνεται στρωματογραφικά και τεκτονικά με τις κύριες ενότητες που έχουν περιγραφεί και καθιερώθει από την ηπειρωτική Ελλάδα (Aubouin, 1973; Jacobshagen et al., 1978). Στα Κύθηρα τα μεταμορφωμένα πετρώματα που καλύπτουν το βόρειο μέρος του νησιού (Θεοδωρόπουλος, 1973) ανήκουν ή στην Ιόνιο ζώνη ή το πιθανότερο στη φυλλιτική σειρά που αποτελείται από τη χαμηλώτερη ενότητα Γαβρόβου - Τριπολίτσας και από το ανώτερο μέρος της Ιονίου σειράς (Λέκκας, 1980). Οι εκτεταμένες εμφανίσεις Αλπικών ενότητων στο κεντρικό και νότιο μέρος του νησιού ανήκουν στα καλύμματα Γαβρόβου-Τριπολίτσας και Πίνδου (Θεοδωρόπουλος, 1973).

Στα Αντικύθηρα οι Αλπικοί σχηματισμοί ανήκουν στη ζώνη Γάβροβου-Τριπολίτσας, ενώ μερικοί σχηματισμοί του καλύμματος της Πίνδου εμφανίζονται στη νησίδα Πόρι, βόρεια των Αντικυθήρων (Lyberis et al., 1982).

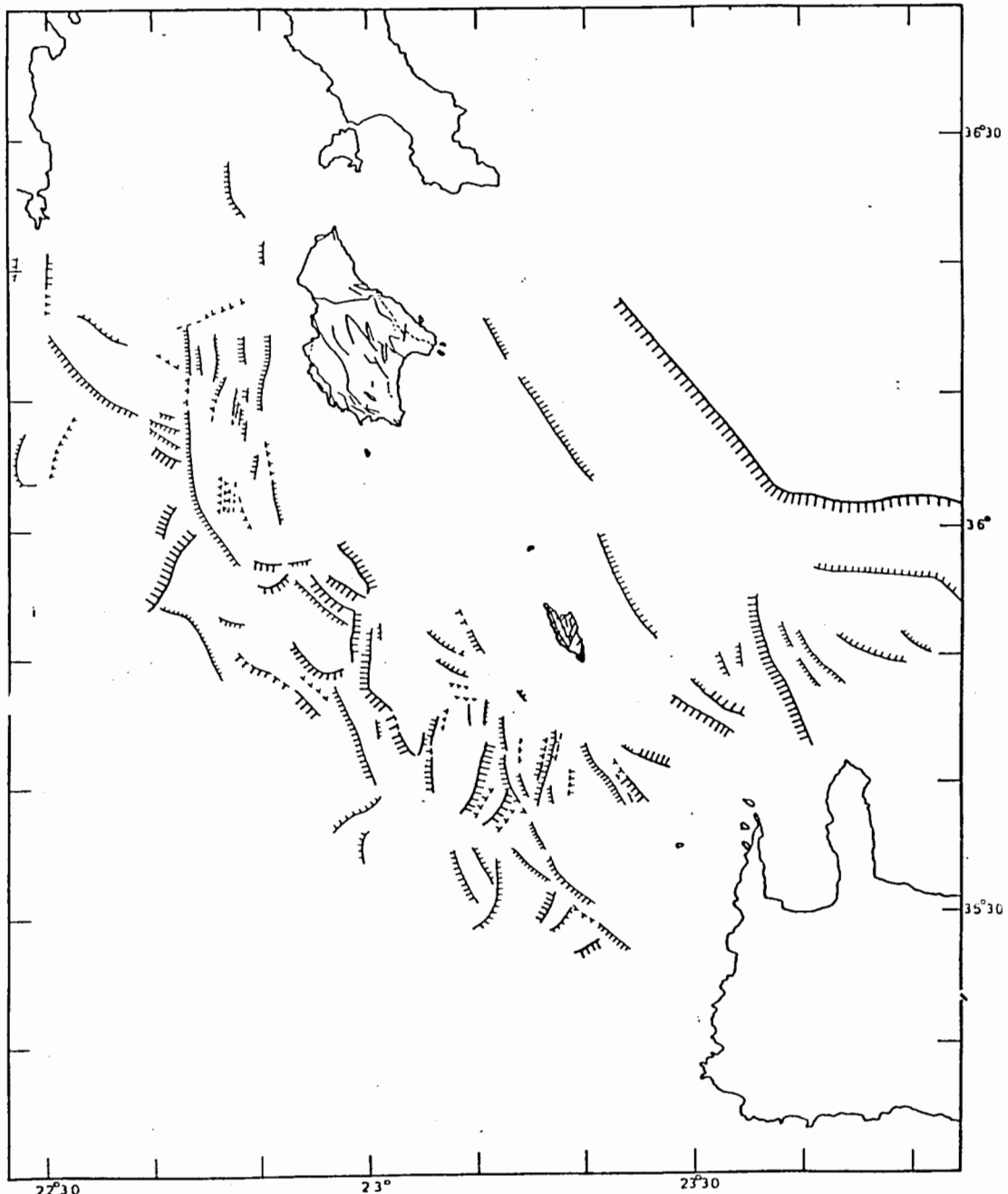
Στη δυτική Κρήτη, η φυλλιτική σειρά και οι ασβεστόλιθοι Γαβρόβου Τριπολίτσας εμφανίζονται κάτω από μικρά υπολείμματα του καλύμματος της Πίνδου. Τα μεταμορφωμένα πετρώματα που αποδίδονται στην Ιόνιο ζώνη είναι ορατά στο τεκτονικό παράθυρο των Λευκών βουνών και βρίσκονται στην ίδια τεκτονική θέση που απαντώνται στη νότια Πελοπόννησο. Είναι γενικά αποδεκτό ότι αντιπροσωπεύουν το αυτόχθον των Αλπικών καλυμμάτων της Κρήτης (Bonneau, 1973) καθώς και των νότιων Ελληνίδων (Aubouin et al. 1976).

Το Νεογενές στα Κύθηρα αρχίζει με την εναπόθεση χονδρόκοκκων κλαστικών ιζημάτων, λιμναϊας-αβαθούς θαλάσσιας φάσης και τοπικής προέλευσης που τοποθετούνται μάλλον στη τεκτονική φάση που είναι γνωστή από την Κρήτη στα όρια Σεραβάλλου-Τορτονίου, (Menlenkamp et al., 1977). Στα όρια Μειοκαίνου - Πλειοκαίνου μία δεύτερη τεκτονική φάση επέδρασε στη περιοχή που είχε σαν αποτέλεσμα την ανύψωση και μερική διάβρωση των κλαστικών σχηματισμών του νησιού. Αυτή η φάση έδωσε στο χώρο των Κυθήρων ένα λοφώδες ανάγλυφο που κατεκλήσθη από θάλασσα κατά το τελευταίο μέρος του Κάτω Πλειοκαίνου (Menlenkamp et al., 1977). Κατά τη διάρκεια αυτής της τεκτονικής φάσης η περιοχή χαρακτηρίζεται από ανθρακική ιζηματογένεση ανοικτής θάλασσας που διατηρήθηκε κατά τη διάρκεια του Μέσου Πλειόκαινου.

Στα Αντικύθηρα το Νεογενές επίκειται ασύμφωνα σε Ανωκρητιδικούς και Ηωκαινικούς ασβεστόλιθους. Στη βόρεια ακτή το Νεογενές αντιπροσωπεύεται από δολομιτιώμενους ασβεστόλιθους πάχους 4-10μ. ηλικίας Μέσο-Άνω Μειοκαίνου που εναποτέθησαν σε παράκτιο περιβάλλον (Lyberis, 1981).

Προς το μέρος της ΒΔ ακτής, το Νεογενές αρχίζει με μία ασυμφωνία πλούσια σε οιδηροξείδια και αποτελείται από 20μ μάργες και αμμώδεις μάργες που στη βάση των περιέχουν μικροαπολιθώματα ηλικίας Κάτω Τορτονίου (Lyberis, 1981). Ενα στρώμα κόκκινου κροκαλοπαγούς βρίσκεται στη κορυφή των μαργών.

Στη παρούσα εργασία δίνεται περιγραφή του υποβαθάσιου συστήματος ρηγμάτων στο περιθώριο Κυθήρων - Αντικυθήρων και με βάση τη σεισμική στρωματογραφία



Σχ. 2. Τεκτονικός χάρτης της περιοχής των στενών Κυθήρων-Αντικυθήρων-Δ. Κρήτης. Οι χονδρώτερες γραμμές ρηγμάτων δείχνουν ρήγματα με πτώσεις μεγαλύτερες από 500μ.

Fig. 2. Tectonic map of the Kythiran - Andikythiran - W. Cretan straits.
The thicker lines are indicating faults with throws over 500m.

δίνεται η εξέλιξη της περιοχής κατά το Ανω-Καινοζωϊκό.

2. ΜΕΘΟΔΟΛΟΓΙΑ

Στη παρούσα εργασία χρησιμοποιούνται λιθοσεισμικά προφίλ σεισμικής ανάκλασης airgun και sparker που πάρθηκαν κύρια από τα πλοία Trident (1975), Dectra (1976), Marsili (1976) και Discovery (1983). Τα λιθοσεισμικά του Discovery σχεδιάστηκαν κύρια με κατεύθυνση ΒΔ-ΝΝΑ δυτικά των Κυθήρων - Αντικυθήρων έτσι ώστε να συμπληρώσουν τα ήδη υπάρχοντα λιθοσεισμικά. Η θέση των προφίλ δίνεται στο Σχ. 1.

3. ΑΒΑΘΗΣ ΔΟΜΗ ΤΗΣ ΠΕΡΙΟΧΗΣ

3.1. Φυσιογραφία της περιοχής

Το ΝΔ Αιγαίο συνδέεται με το Ιόνιο διαμέσου των στενών Ελαφονήσου (δυτικά του ακρωτηρίου Μαλέα) - Κυθήρων, πλάτους 11 χλμ. και βάθους 280μ., Κυθήρων - Αντικυθήρων, πλάτους 33 χλμ. και βάθους 160μ., Δ. Κρήτης (ακρωτήριο Γραμβούσας) - Αντικυθήρων πλάτους 32 χλμ. και βάθους 700 μ.

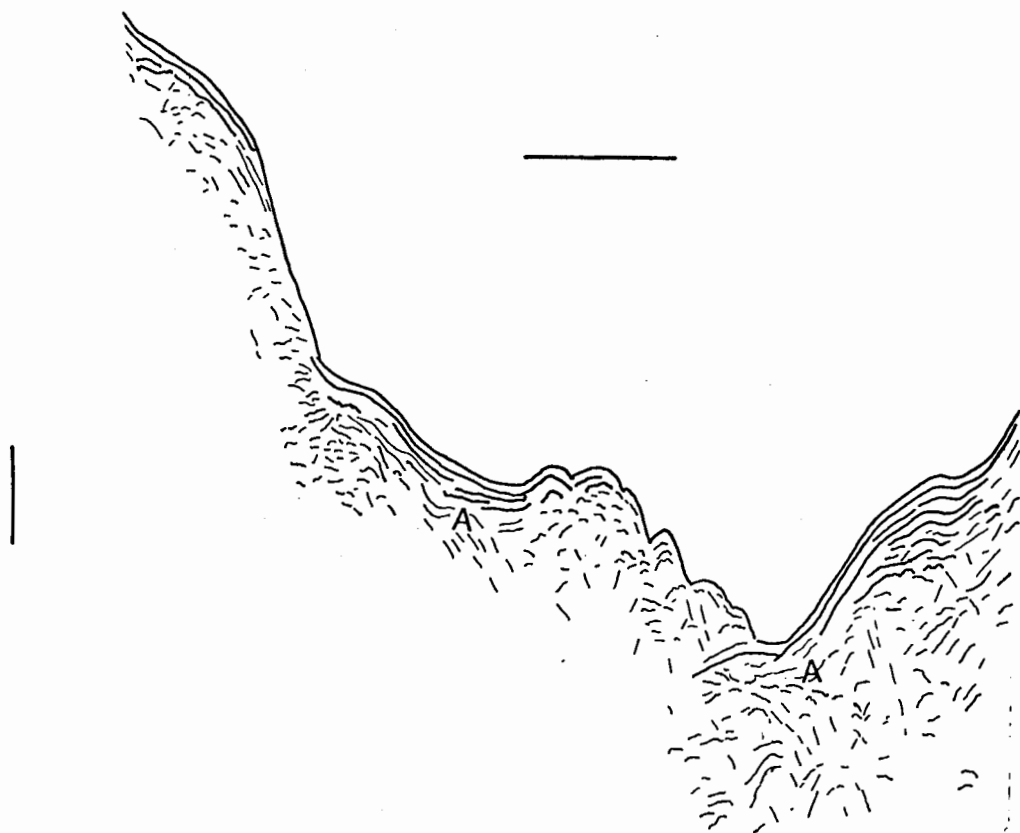
Η υφαλοκρηπίδα των Κυθήρων έχει πλάτος 2-7 χλμ., των δε Αντικυθήρων 1-4 χλμ. Η υφαλοκρηπίδα στο ΒΔ άκρο της Κρήτης επεκτείνεται βόρεια του ακρωτηρίου Γραμβούσα σε απόσταση 17 χλμ. από τις ακτές. Το ηπειρωτικό περιθώριο προς τα δυτικά μπορεί να υποστηριχθεί ότι καλύπτει τη περιοχή μέχρι την ισοβαθή των 2000 μ. Αξιοσημείωτη είναι η υπαρξη βαθυμετρικού αβαθούς που ορίζεται από την ισοβαθή των 200μ. (ελάχιστο βάθος 95μ) σε απόσταση 15 χλμ. ΝΔ των Κυθήρων καθώς και ανυψώματος (ελάχιστο βάθος 904μ) 35° 50' N και 22° 42' E σε απόσταση λιγότερο από 15 χλμ. από τη Δυτική Ελληνική Τάφρο (Σχ. 1). Στο δυτικό περιθώριο σχηματίζεται μία σειρά από λεκάνες οι περισσότερες των οποίων διοχετεύουν τα ιζήματα προς τη Δυτική Ελληνική τάφρο με σύστημα κάνυον (Vittori, 1978). Το ανατολικό περιθώριο των Κυθήρων - Αντικυθήρων είναι πιο ομαλό και οδηγεί στο σύστημα λεκανών του ΝΑ Αιγαίου των οποίων τα βάθη κυμαίνονται μεταξύ 1200-1300 μ.

3.2. Τεκτονική

Το ηπειρωτικό περιθώριο δυτικά των Κυθήρων είναι έντονα ρηγματωμένο και χαρακτηρίζεται κυρίως από ρήγματα με γενική κατεύθυνση Β-Ν (Σχ. 2). Μέσα σ' αυτή τη κατεύθυνση διακρίνονται ρήγματα με ΒΔ-ΝΝΑ και ΒΒΑ-ΝΝΔ κατευθύνσεις. Τα μικρότερα ρήγματα φαίνεται να είναι ταξινομημένα μέσα σ' ένα μπλόκ, τα όρια του οποίου σχηματίζουν κύρια ρήγματα (Σχ. 3) μήκους μεγαλύτερου από 30 χλμ. (Σχ. 2). Μεταξύ των μικροτέρων ρηγμάτων σχηματίζονται πολυάριθμα τεκτονικά βυθίσματα (graben). Δυτικά και βόρεια του μπλόκ αυτού εμφανίζονται ρήγματα με γενικές κατευθύνσεις Α-Δ (ΔΒΔ-ΑΝΑ και ΔΝΔ-ΑΒΑ) που τέμνουν τα κύρια συστήματα ρηγμάτων με διεύθυνση Β-Ν. Πρέπει να τονισθεί ιδιαίτερα ότι η περιοχή του δυτικού περιθώριου των Κυθήρων παρουσιάζει εκπληκτική ομοιότητα με το νησί των Κυθήρων όσον αφορά στη ρηγμάτωση.

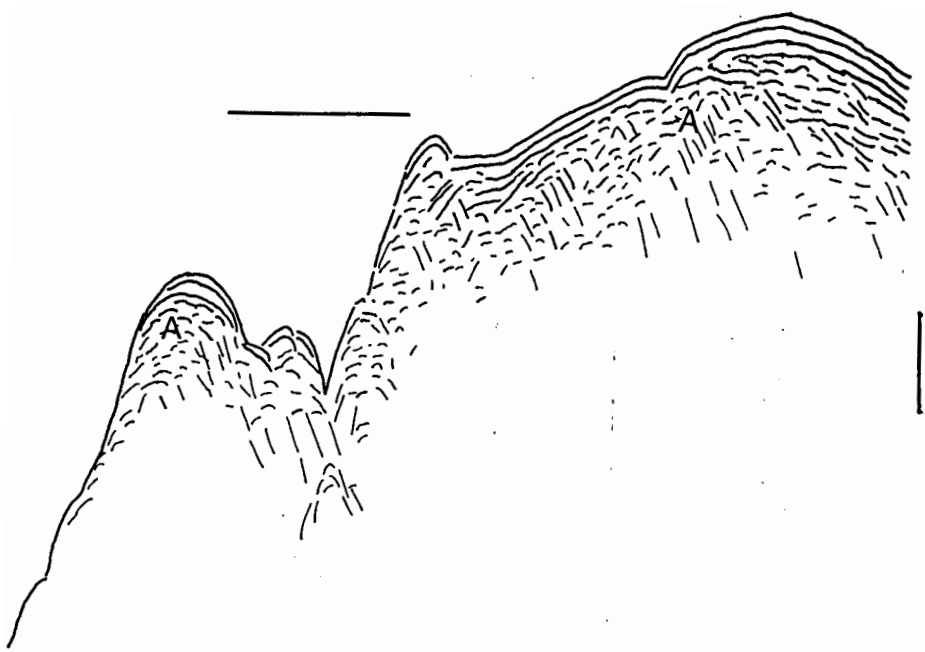
Στο περιθώριο δυτικά του στενού των Κυθήρων - Αντικυθήρων και δυτικά των Αντικυθήρων παρατηρείται μία κύρια κατεύθυνση ρηγμάτων ΒΔ-ΝΑ και μία δευτερεύουσα με προσανατολισμό Α-Δ. Η παρατηρούμενη τάξη ρηγμάτων ΒΒΑ-ΝΝΔ αριθμητικά είναι η μικρότερη.

Το ηπειρωτικό περιθώριο που βρίσκεται ΝΑ των Αντικυθήρων παρουσιάζει μία διαφοροποίηση στο ότι η κύρια τάξη ρηγμάτων έχει κατεύθυνση ΒΒΑ-ΝΝΔ. Μεταξύ των Αντικυθήρων και της Δυτικής Κρήτης το κύριο σύστημα ρηγμάτων προσανατολίζεται ΒΔ-ΝΑ, ενώ ανατολικότερα μεταπίπτουν σε Α-Δ.



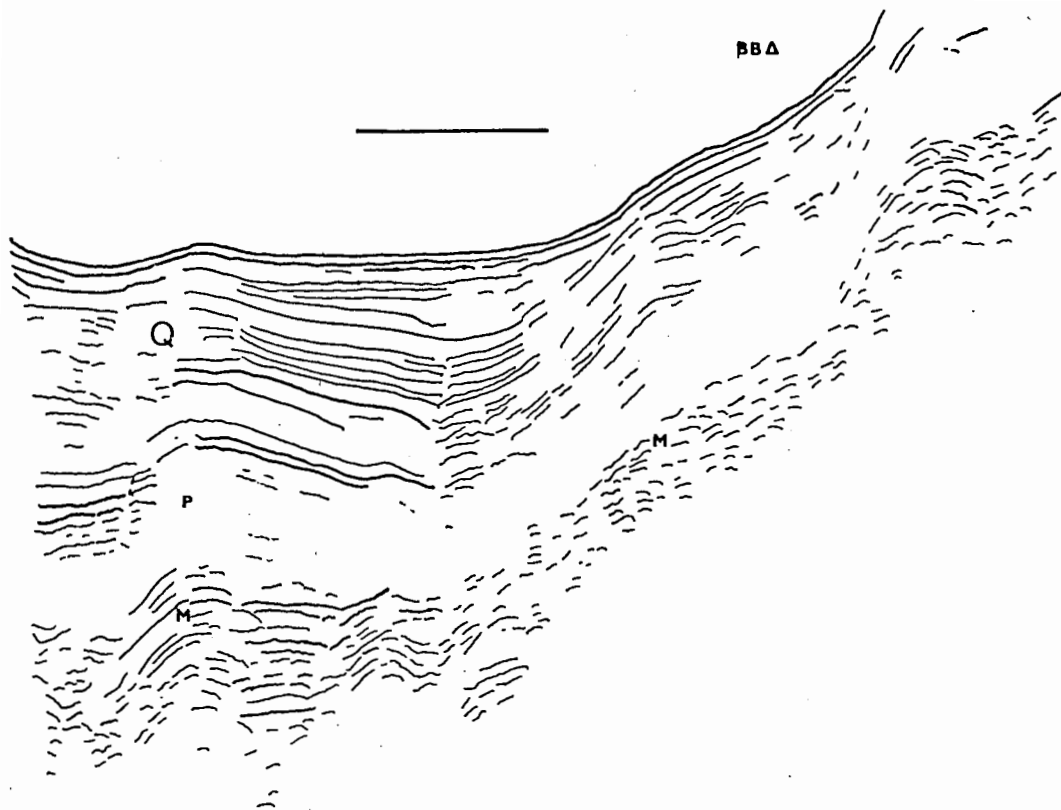
Σχ. 3. Λιθοσεισμικό προφίλ (air gun) δυτικά των Κυθήρων. Α = Αλπικό υπόβαθρο. Η κάθετος γραμμή δείχνει χρόνο 100msec, η οριζόντια δείχνει απόσταση ενός ναυτικού μιλίου.

Fig. 3. Air gun seismic reflection profile west of Kythira. The letter A is indicating the Alpine basement. The vertical bar represents 100 msec (two way travel time), the horizontal bar marks distance of one nautical mile.



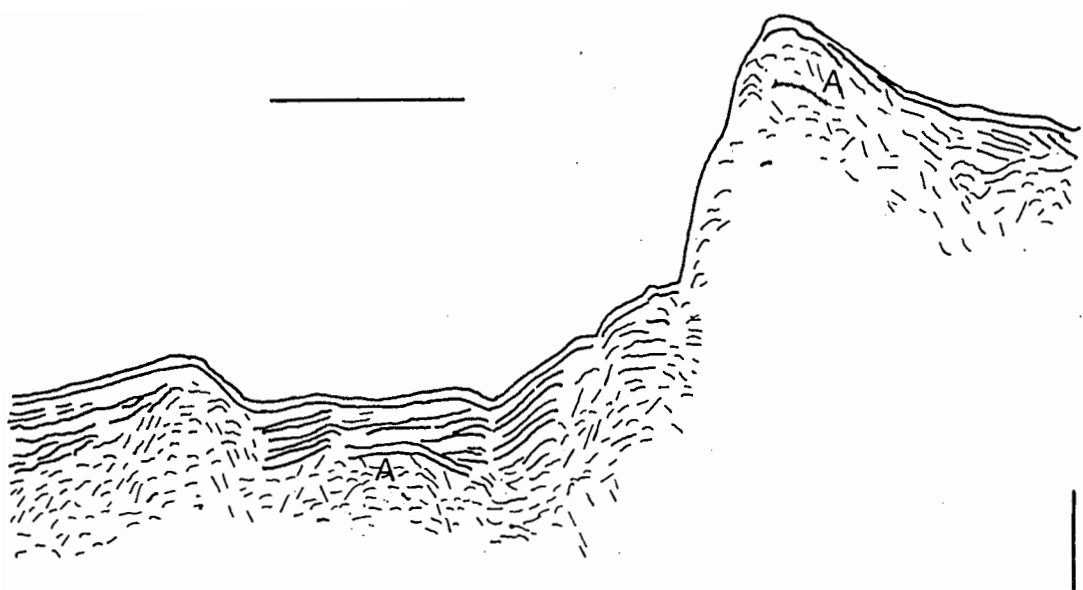
Σχ. 4. Λιθοσεισμικό προφίλ (air gun) ΝΔ των Αντικυθήρων. Α = Αλπικό υπόβαθρο. Η κάθετος γραμμή δείχνει χρόνο 100 msec, η οριζόντια δείχνει απόσταση ενός ναυτικού μιλίου.

Fig. 4. Air gun seismic reflection profile SW of Andikythira. The letter A is indicating the Alpine basement. The vertical bar represents 100 msec (two way travel time), the horizontal bar marks distance of one nautical mile.



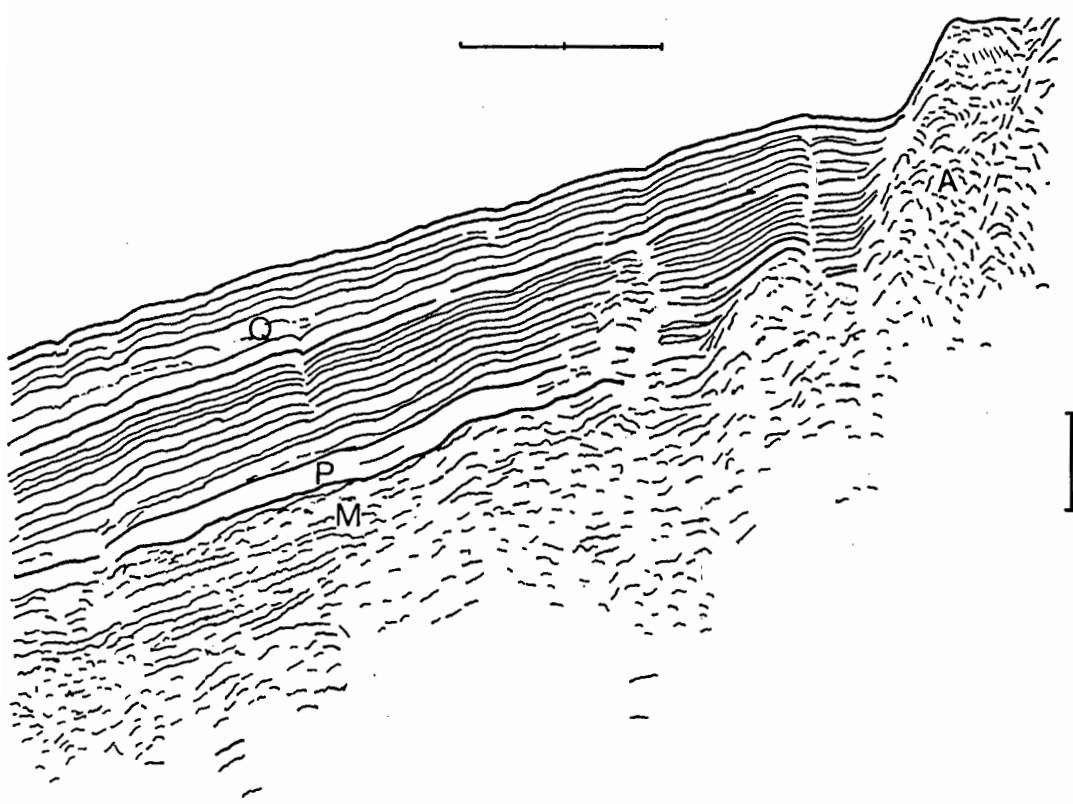
Σχ. 5. Λιθοσεισμικό προφίλ (air gun) στο περιθώριο δυτικά των Αντικυθήρων. Μ = κορυφή του Μεσσινίου, Ρ = Πλειόκαινο, Κ = Τεταρτογενές. Η κάθετος γραμμή δείχνει χρόνο 100msec, η οριζόντια δείχνει απόσταση ενός ναυτικού μιλίου.

Fig. 5. Air gun seismic reflection profile west of Andikythira. Letter M represents the Messinian, P the Pliocene and Q the Quaternary sediments. The vertical bar represents 100 msec (two way travel time), the horizontal bar marks distance of one nautical mile.



Σχ. 6. Λιθοσεισμικό προφίλ (air gun) βόρεια του ακρωτηρίου Σπάθα (Δ. Κρήτης). Α = Αλπικό υπόβαθρο. Η κάθετος γραμμή δείχνει χρόνο 100 msec, η οριζόντια δείχνει απόσταση ενός ναυτικού μιλίου.

Fig. 6. Air gun seismic reflection profile north of the cape Spatha (W. Crete). Letter A is indicating the Alpine basement. The vertical bar represents 100 msec (two way travel time), the horizontal bar marks distance of one nautical mile.



Σχ. 7. Λιθοσειμικό προφίλ (air gun) βόρεια του ακρωτηρίου Γραμβούσα (Δ. Κρήτης), Α = Αλπικό υπόβαθρο, Μ = Μεσσίνιο, Ρ = Πλειόκαινο, Κ = Τεταρτογενές. Η κάθετος γραμμή δείχνει χρόνο 100mesc, η οριζόντια δείχνει απόσταση ενός ναυτικού μιλίου.

Fig. 7. Air gun seismic reflection profile north of cape Grambousa (W. Crete). Letter A represents the Alpine basement, M the top of the Messinian, P the Pliocene and Q the Quaternary. The vertical bar represents 100 msec (two way travel time), the horizontal bar marks distance of one nautical mile.

Το ανατολικό περιθώριο Κυθήρων - Αντικυθήρων χαρακτηρίζεται από ρήγματα με διεύθυνση ΒΒΔ-ΝΝΑ. Πρέπει όμως να αναφερθεί ότι η υπάρχουσα λιθοσεισμική κάλυψη δεν είναι ικανοποιητική.

3.3 Σεισμική στρωματογραφία

Η περιγραφή της σεισμικής στρωματογραφίας με λιθοσεισμικά ενός καναλιού και χωρίς δίκτυο γεωτρήσεων είναι δύσκολη και ελλιπής. Στις περιοχές ανοικτής θαλασσας, η σεισμική στρωματογραφία βοηθείται ιδιαίτερα από τα αποτελέσματα του D.S.D.P. που στη περίπτωση της Ανατολικής Μεσογείου απέδειξαν την εκπληκτική συνέχεια του Μεσαίνιου καθώς και την ακουστική ιδιαιτερότητα του Πλειόκαινου αφ' ενός και του Τεταρτογενούς αφ' ετέρου (Hsu et al., 1978). Στη περίπτωση του ΝΑ Αιγαίου τα αποτελέσματα της γεωτρήσης 378, στη Κρητική λεκάνη (Hsu et al., 1978) είναι ιδιαίτερα χρήσιμα.

Το δυτικό περιθώριο των Κυθήρων καθώς και το μέρος του περιθώριου που βρίσκεται δυτικά του στενού Κυθήρων - Αντικυθήρων χαρακτηρίζεται από την ύπαρξη ενός ακουστικού υπόβαθρου Αλπικού (Σχ. 3) που καλύπτεται από ιζήματα πάχους 10-40 μέτρων. Τα ιζήματα αυτά, Τεταρτογενούς ήλικιας, επικαθίνται ασύμφωνα στο Αλπικό υπόβαθρο. Μπορεί να υποστηριχθεί ότι η περιοχή αυτή του περιθώριου περικλείεται μέσα στη περιοχή που ορίζεται από την ισοβαθή των 1000-1400 μέτρων (ανάλογα με την περιοχή).

Το ηπειρωτικό περιθώριο NNA των Αντικυθήρων παρουσιάζει παρόμοια εικόνα. Το παρατηρούμενο ακουστικό υπόβαθρο είναι το Αλπικό που ασύμφωνα καλύπτεται από Τεταρτογενή ιζήματα πάχους 10-80μ. (Σχ. 4). Η περιοχή όμως αυτή δεν μπορεί να σκιαγραφηθεί μέσα σε ισοβαθείς. ΑΝΑ των Αντικυθήρων παρατηρείται μία σημαντική μεταβολή : το παρατηρούμενο ακουστικό υπόβαθρο είναι το Μεσσίνιο που καλύπτεται από Πλειοτεταρτογενή ιζήματα πάχους γύρω στα 200 μέτρα (Σχ. 5). Το πάχος του Τεταρτογενούς παρουσιάζει μία ομοιογένεια, ανάλογα με την περιοχή, ενώ το πάχος του Πλειόκαινου γενικά αυξάνεται προς τα ΝΑ. Υπάρχουν περιοχές στη περιοχή αυτή που το Πλειόκαινο επίκειται ασύμφωνα στο Αλπικό υπόβαθρο.

Στο στενό μεταξύ Αντικυθήρων και Δυτικής Κρήτης, ακόμα και στις βαθύτερες περιοχές, το Αλπικό υπόβαθρο επίκειται ασύμφωνα από Τεταρτογενή ιζήματα πάχους 10-80μ. (Σχ. 6). Η περιοχή εκατέρωθεν των στενών παρουσιάζει παρόμοια εικόνα, μόνο που το πάχος των Τεταρτογενών ιζημάτων είναι μεγαλύτερο (γύρω στα 100μ.).

Στη περιοχή που ορίζεται από τις προεκτάσεις των ακρωτηρίων της Γραμβούσας και Σπάθας (Δυτικής Κρήτης) προς τα βόρεια (Σχ. 2) το παρατηρούμενο ακουστικό υπόβαθρο είναι το Μεσσίνιο πάνω από το οποίο επίκειται ασύμφωνα Πλειόκαινο μικρού πάχους, που στη συνέχεια επίκειται από το Τεταρτογενές (Σχ. 6). Στη προέκταση προς τα βόρεια του ακρωτηρίου Σπάθα (Σχ. 2) το Αλπικό υπόβαθρο καλύπτεται ασύμφωνα από Τεταρτογενή ιζήματα πάχους 10-50μ. (Σχ. 6). Δυτικά της περιοχής αυτής αναπτύσσεται μία Πλειο-Τεταρτογενής σειρά πάχους μεγαλύτερου από 1500 μ. που επίκειται στο Μεσσίνιο.

Στο ανατολικό περιθώριο των Κυθήρων - Αντικυθήρων το Αλπικό υπόβαθρο αποτελεί και το ακουστικό σε βάθη μέχρι γύρω στα 800 μέτρα και επίκειται ασύμφωνα από Τεταρτογενή ιζήματα μικρού πάχους. Στις βαθύτερες περιοχές προς τα ανατολικά το Μεσσίνιο είναι καλά ανεπτυγμένο και επίκειται (σύμφωνα) από Πλειο-Τεταρτογενή ιζήματα μεγάλου πάχους.

3.4. Εξέλιξη της περιοχής κατά το Ανω-Καινοζωϊκό

Η εξέλιξη της περιοχής των Κυθήρων - Αντικυθήρων - Δ. Κρήτης συνδέεται με τις σπουδαίες τεκτονικές μεταβολές που έγιναν στη περιοχή του νότιου Αιγαίου - Ελληνική Τάφρο τα τελευταία 12-13 εκατομμύρια χρόνια (Angelier et al., 1982).

Η δομή της Δυτικής Ελληνικής Τάφρου περιγράφηκε από τον Le Quellec, 1979. Το μέρος αυτής της τάφρου δεν παρουσιάζει ενδείξεις για ενεργή καταβύθιση (Kelling & Anastasakis, 1981).

Η διαπιστωθείσα αρχαιώτερη καταβύθιση στο δυτικό περιθώριο Κυθήρων - Αντικυθήρων τοποθετείται στο Ανω-Μειόκαλνο. Το τμήμα του περιθώριου που καταβυθίστηκε, κύρια Δ-ΝΔ των Αντικυθήρων αντιπροσωπεύει ένα σχετικά μικρό κομμάτι του δυτικού περιθώριου. Ο λιθοσεισμικός χαρακτήρας των ανακλαστήρων που αποδύνονται στο Μεσσίνιο, κοντά στις κλιτίες όπου πρωτεψφανίζεται, συμβουλεύει ότι αντιπροσωπεύει κύρια Μεσσίνια κλαστικά ιζήματα που περνούν βαθύτερα σε πιο τυπικές μορφές Μεσσίνιου (διαβρωτική επιφάνεια, εβαπορίτες). Στο ανατολικό περιθώριο των Κυθήρων - Αντικυθήρων σε περιοχές βαθύτερες από τα 800μ. επικρατούσε ήδη θαλάσσια ιζηματογένεση κατά το τέλος του Μεσσινίου όπως συνάγεται από την υπαρξη δεύτερου ανακλαστήρα κάτω από το Μεσσίνιο, που μάλλον αντιπροσωπεύει τη βάση του Μεσσινίου-Ανω Τορτονίου. Αυτό συμφωνεί με τα συμπεράσματα του Jongasma et al. (1977) στο νότιο Αιγαίο. Η εξέλιξη της περιοχής βόρεια της Δυτικής Κρήτης φαίνεται να συνδέεται άμεσα με την Ανω-Μειόκαλνη παλαιογεωγραφία του δυτικού τμήματος του νησιού. Κατά το Μέσο Πλειόκαλνο παρατηρείται μία άλλη τεκτονική φάση που προκάλεσε επίκληση σε περιοχές του Αλπικού υπόβαθρου που βρίσκονται κοντά στις περιοχές που είχαν καταβυθιστεί κατά το Ανω Μειόκαλνο (κύρια Δ-ΝΔ των Αντικυθήρων). Κατά το Μέσο-Τεταρτογενές μία κύρια τεκτονική φάση προκαλεί τη καταβύθιση του μεγαλύτερου μέρους του περιθώριου των Κυθήρων - Αντικυθήρων - Δ. Κρήτης και αποκατάσταση της επικοινωνίας του ΝΔ Αιγαίου με το Ιόνιο (Anastasakis & Dermatzakis, 1986).

Οι Lyberis et al. (1982) εξήγησαν τη δομή των στενών Πελοποννήσου-Κυθήρων-Αντικυθήρων-Κρήτης με βάση την 'Ανω-Καινοζωϊκή ρηγμάτωση που μελέτησαν στη ξηρά και τη ρηγμάτωση στο θαλάσσιο χώρο που την συμπέραναν από βυθομετρικούς χάρτες. Κατά τους παραπάνω συγγραφείς η δομή των στενών εξηγείται στα πλαίσια των επεκτατικών κινήσεων στο χώρο του Αιγαίου που έλαβαν χώρα τα τελευταία 13-12 εκατομμύρια χρόνια. Σαν απότελεσμα η ΝΑ Πελοπόννησος εστράφηκε σύμφωνα με τους δείκτες του ωρολογίου κατά 25-30° το Ανω Καινοζωϊκό αλλά η στρέψη μεταξύ Πελοποννήσου και Κρήτης παραμένει αβέβαιη.

Αυτό που συνάγεται καθαρά από αυτή τη μελέτη είναι ότι η πιο έντονη τεκτονική φάση στη περιοχή των στενών συνέβει κατά το Μέσο-Ανω Τεταρτογενές. Είναι γνωστό ότι ο επεκτατικός τεκτονισμός προκαλεί κύρια καταβύθιση και σαν επακόλουθο στη περιοχή αυτή υπήρξε η καταβύθιση του μεγαλύτερου μέρους μεταξύ Πελοποννήσου και Κρήτης.

4. ΣΥΜΠΕΡΑΣΜΑΤΑ

- 1) Το ηπειρωτικό περιθώριο δυτικά των Κυθήρων χαρακτηρίζεται από μία κύρια τάξη ρηγμάτων με γενική κατεύθυνση Β-Ν (ΒΒΔ-ΝΝΑ και ΒΒΑ-ΝΝΔ) και μία δευτερεύουσα με διεύθυνση Β-Ν. Στο περιθώριο δυτικά του στενού των Κυθήρων-Αντικυθήρων καθώς και δυτικά των Αντικυθήρων η κύρια κατεύθυνση ρηγμάτων είναι ΒΔ-ΝΑ και οι δευτερεύουσες Α-Δ και ΒΒΑ-ΝΝΔ. ΝΑ των Αντικυθήρων η κύρια τάξη ρηγμάτων έχει κατεύθυνση ΒΒΑ-ΝΝΔ ενώ μεταξύ Αντικυθήρων και Δυτικής Κρήτης προσανατολίζεται κύρια ΒΔ-ΝΑ και ανατολικώτερα μεταπίπτει σε Α-Δ. Το ανατολικό περιθώριο των Κυθήρων-Αντικυθήρων χαρακτηρίζεται από ρήγματα διευθύνσεων ΒΒΔ-ΝΝΑ.
- 2) Το μεγαλύτερο μέρος του ανατολικού περιθώριου των Κυθήρων-Αντικυθήρων είχε ήδη βυθιστεί κατά το Μέσο-Ανω Μειόκαλνο. Στο δυτικό περιθώριο διεπιστώθηκέ την η καταβύθιση μάλις περιοχής Δ-ΝΔ των Αντικυθήρων. Κατά το Μέσο Πλειόκαλνο παρατηρείται μία άλλη τεκτονική φάση που προκάλεσε επίκληση σε περιοχές του Αλπικού υπόβαθρου που βρίσκονται κοντά σε περιοχές που είχαν καταβυθιστεί κατά το Ανω Μειόκαλνο (κύρια Δ-ΝΔ των Αντικυθήρων). Κατά το Μέσο-Τεταρτογενές μία κύρια τεκτονική φάση προκαλεί τη καταβύθιση του μεγαλύτερου μέρους του περίθωριου μεταξύ Πελοποννήσου και Κρήτης και αποκατάσταση της επικοινωνίας του ΝΔ Αιγαίου με το Ιόνιο.

ΒΙΒΛΙΟΓΡΑΦΙΑ.

- ANASTASAKIS G. and DERMITZAKIS M. 1986. Upper Cenozoic connections of the Aegean to the Eastern Mediterranean : Marine Geological evidence as compared to the fossil mammals of the region. Submitted to Rapp.Com.int.Mer Médit.
- ANGELIER J., LYBERIS N., LE PICHON X., BARRIER E. and HUCHON P. 1982. The tectonic development of the Hellenic arc and the Sea of Crete : a synthesis. Tectonophysics, 86:159-196.
- AUBOUIN J. 1973. Des tectoniques superposées et de leur signification par rapport aux modèles géophysiques. L'exemple des Dinarides; Paléotectonique, tectonique, tarditectonique, néotectonique. Bull.Soc. géol. Fr., 7 Ser. 15, 426-460.
- AUBOUIN J., BONNEAU M., DAVIDSON J., LEBOULANGER P., MATESCO S. and ZAMBETAKIS A. 1976. Esquisse structurale de l'arc égéen externe : des Dinarides aux Taurides. Bull.Soc.géol. Fr., 7 Ser. 18, 327-336.
- BONNEAU M. 1973. Sur les affinités ionniennes des "calcaires en plaquettes" épimétamorphiques de la Crète, le charriage de la série de Gavrovo-Tripolitza. C.r.hebd.Séanc.Acad.Sci., Paris, 277, 2453.
- HSU K., MONTADERT L. et al. 1978. Initial reports of the Deep-Sea Drilling Project, 42(1). U.S. Govt. Printing Office, Washington D.C., 1249p.
- JACOBSHAGEN V., DURR S., KOCKEL F., KOPP K.O., KOWALCZYK G., BERCKHEMER H. and BUTTNER, 1978. Structure and geodynamic evolution of the Aegean region. In: Alps, Apennines, Hellenides. Edited by Closs H., Roeder R and Schmidt K. Stuttgart, 537-564.
- JONGSMA D., WISSMANN G., HINZ K. and GARDE S., 1977. Seismic studies in the Cretan Sea. 2. The southern Aegean Sea: An extensional marginal basin without sea-floor spreading? "Meteor" Forsch.-Ergebnisse, Reihe C., No. 27, pp. 3-30.
- KELLING G. and ANASTASAKIS G. 1981. Structural Framework of the Central Hellenic Trench: some regional considerations. In: International Symposium on the Hellenic Arc and Trench (HEAT), Athens 1981, April 8-10, Abstracts, pp. 48-49.
- LEKKAS S. 1980. Les phyllades du Péloponnèse: un metaflysch ionien chevauché par la série de Gavrovo-Tripolitza (Grèce). C.r.hebd.Séanc.Acad. Sci., Paris, 291, 21.
- LE QUELLEC P. 1979. La marge continentale ionienne du Péloponnèse: géologie et structure. Thèse 3e cycle, Paris, 210 p.
- LYBERIS N. 1981. Identification d'un jalon des Hellénides dans le détroit de Cythère: l'île d'Anticythere (Grèce). C.R.Acad.Sc. Paris, t. 293, Série II, 775-778.
- LYBERIS N., ANGELIER J., BARRIER E. and LALLEMAND S. 1982. Active deformation of a segment of arc: the strait of Kythira, Hellenic arc, Greece. Journ. of Structural Geol., vol. 4, no. 3, pp. 299-311.
- MEULENKAMP J.E., THEODOROPOULOS and TSAPRALIS V. 1977. Remarks on the Neogene of Kythira, Greece. VI Colloquium on the geology of the Aegean Region. Proceedings, Vol. I, pp. 355-362. Institute of Geol. and Min. Res., Athens 1979.
- THEODOROPOULOS D.K. 1973. Géographie physique de l'île de Cythère. Thèse, Université d'Athènes, 94 p.
- VITTORI J. 1978. Caractères structuro-sédimentaires de la couverture plio-quaternaire au niveau des pentes et des fosses helléniques du Péloponnèse (Grèce). Thèse 3e cycle, Toulouse, 194 p.